

建設省土木研究所 正員 佐々木 康
 " " 谷口 栄一
 " " ○小笠原 久

1. まえがき

地盤の液状化に関する検討は、通常、地盤は非排水の状態にあるという条件のもとに行なわれる。しかし、液状化対策として用いられる碎石ドレン工法を施工した地盤や、粒径の比較的大きい礫層などの場合には必ずしもこの条件は満足されない。このような場合には、地盤からの排水を考慮して液状化特性を検討する必要がある。このため、グリセリン溶液を用いて、見掛けの透水係数を変えた、礫の液状化試験を行なったので以下に報告する。

2. 実験方法

振動台上に据えつけた図-1に示すせん断箱の中に、グリセリン溶液で飽和した礫層を築造し、水平に正弦波で加振した。このせん断箱は、液化セニール板（厚さ1cm）からなる枠を50枚重ね合わせ、内部に箱状のゴムストリーブを入れた構造とする。これより、単純せん断の状態を作ることができる。内寸法は30mm×40mm×50mmである。

実験に用いた礫は、7号碎石を水洗いしたもので、 $D_{50}=3.3\text{mm}$, $\mu_c=1.57$, $\gamma_s=2.633$ である。このような粒径を有する礫は、これまでの大型繰返し三軸試験によれば、非排水条件下で、 $\sigma'_v=0.25$ 程度のせん断応力の20倍程度の繰返しにより液状化する。

また、この礫の透水係数は $\sim 7\text{cm/sec}$ といふ。一般に透水係数は流体の粘性によつて次のように変わるので、水の替りにグリセリン溶液を用いることによって、見掛けの透水係数を制御できる。

$$\frac{\kappa_g}{\kappa_w} = \frac{\eta_w}{\eta_g} \cdot \frac{\kappa_w}{\kappa_g} \quad \dots \dots \dots (1)$$

ここに、 κ_g : グリセリン溶液の透水係数, κ_w : 水の透水係数, η_g : グリセリン溶液の粘性, η_w : 水の粘性。

すなわち、グリセリン溶液の粘性は濃度によつて異なり、グリセリン溶液の濃度を100%～0%に変えることによつて、図-2に示すように、透水係数を3桁程度、容易に変えられることである。

表-1に実験に用いた礫層の密度、グリセリン溶液の濃度、加振加速度を示す。加振周波数は2Hz、加振時間は5秒である。

加振によつて発生する間隙水圧を測定するために、礫層内にひずみゲージ式の間隙水圧計を深さ20mmと40mmの位置に埋設した。この間隙水圧計の受圧面はポーラスメタルの替りに粗い網で保護し、ポーラスメタルの透水性による計測のタイムラグを防ぐようになつた。また同一深度に加速度計も埋設し、ペン書き

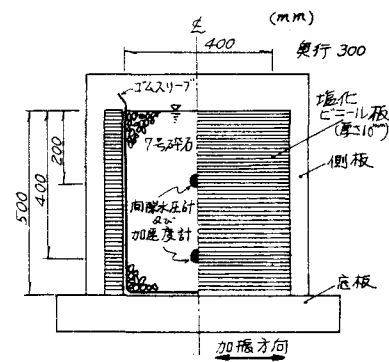


図-1 セン断箱

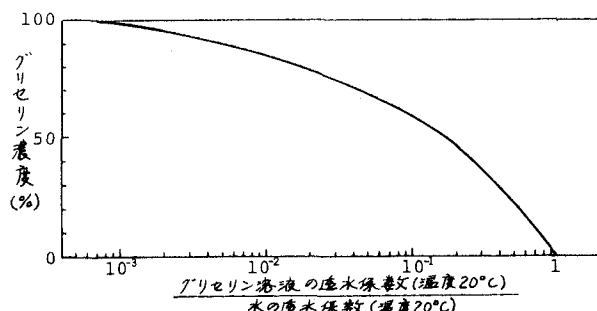


図-2 透水係数とグリセリン濃度の関係

表-1 実験条件

実験No.	グリセリン濃度(%)	台加速度(gal)	隙間比e
1	100.0	157	0.85
2	99.0	91	0.79
3	92.5	91	0.80
4	89.5	(90)	0.80
5	78.5	95	0.72
6	72.5	(90)	0.82
7	59.0	95	0.79
8	0.0	157	0.80

オシログラフにこれらの値を記録した。

同一のゲリセリン濃度の礫層について(過剰間隙水圧の消散を待つ)後、3~4回の加振実験を繰り返してみると、ここで1回目の加振による結果について報告する。

3. 実験結果

図-3に加振に伴って礫層中に発生する間隙水圧の記録例を示す。この記録はゲリセリン濃度100%の場合のものであるが、加振の繰り返し回数N=4回(2秒)程度で、深さ40cmおよび20cmの位置での間隙水圧は、初期有効上載圧の70%前後まで上昇した後、ほぼ一定値となり、加振終了後もこの値を維持し、加振終了後5分程度経過した後、これらの値は0となる。図-3

間隙水圧の消散に伴って礫層は圧縮され、礫層表面は沈下する。礫層内の体積圧縮係数 m_v が一定であるとすると、表面沈下量 s は次式で表される。 $S = m_v \cdot \int_0^H u \cdot dz$

ここで、 m_v : 体積圧縮係数、 u : 深さ z の過剰間隙水圧。

いま、 u が深さ方向に静水圧的分布を有ると仮定すると、表面沈下量は次式で表される。

$$S = \frac{1}{2} \cdot a \cdot m_v \cdot H^2 \quad \dots \dots \quad (2)$$

ここで、 a : 過剰間隙水圧の深さ方向の勾配、
 H : 級層の厚さ。

表-2には、表-1に示した各礫層の実験で得られた沈下量と間隙水圧の実測値から(2)式を用いて逆算した m_v の値を示す。この表に示すように、礫層の体積圧縮係数は0.09~0.29/m³fの範囲にあった。

図-4に実験で得られた最大過剰間隙水圧比と透水係数の関係を示す。この図は、別報で示した手法によって求めた過剰間隙水圧の計算値を合わせて示した。この計算手法では、過剰間隙水圧の蓄積に及ぼす排水の影響が、一次元圧密の基本式を、せん断応力の繰り返し毎に発生する間隙水圧量を初期値として解いて重ね合せることによって表される、と考えている。

図-4に示すように、礫層の透水係数が大きい場合には、加振による過剰間隙水圧はほとんど上昇しないが、透水係数が10⁻²cm/secのオーダーになると、過剰間隙水圧比は100%近くまで上昇し、礫層表面からの排水があり、これを液状化している。発生する過剰間隙水圧に対する透水係数の影響については、ここに示した計算値はいくつかの仮定の基に計算されており、実測値と比較的よく一致している。

また、ここに示すようにゲリセリン溶液の濃度を変えて透水係数を制御する実験方法は、種々の透水係数を持つ地盤の排水条件下の液状化特性について、実験的に明らかにするための有効な手法となり得ると思われる。

1) 佐々木康也、"河床砂層の耐震安定性に関する調査報告", 土木研究所資料第1669号, 1981

2) 佐々木康也、名口栄一、"地盤液状化対策としての碎石ドレン工法", 地盤と基礎の地震災害に関するシンポジウム, 1983

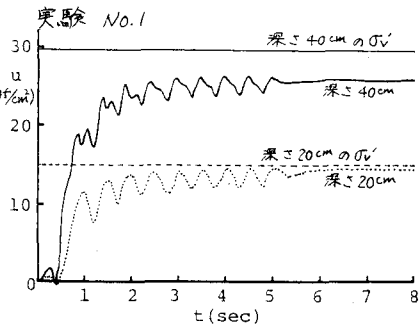


図-3 記録波形(間隙水圧)

表-2 体積圧縮係数

実験 No.	加振 による振幅 (cm)	加振後の 層厚 (cm)	過剰間隙水圧 の発生時の 体積圧縮 係数 m_v (m ³ /t)	体積圧縮 係数 m_v (m ³ /t)
1	0.9	49.1	0.344	0.11
2	1.2	48.8	0.352	0.14
3	1.1	48.9	0.368	0.12
4	1.4	48.6	0.314	0.18
5	1.3	46.9	0.194	0.29
6	0.1	49.9	0.044	0.09
7	0.3	48.2	0.0	-
8	0.1	49.9	0.0	-

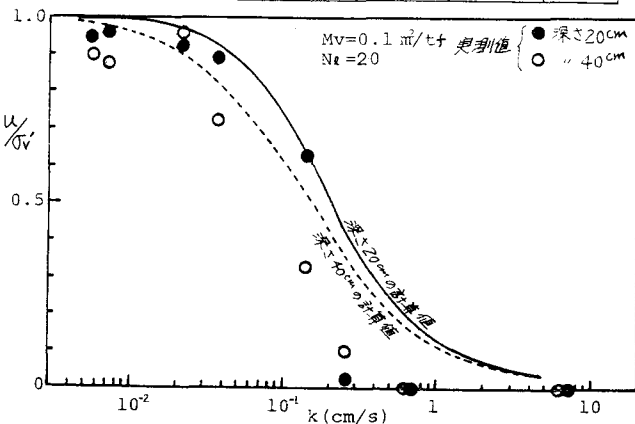


図-4 透水係数と過剰間隙水圧比の関係